

# بررسی رفتار بار - نشست مخلوط خاک و خردلاستیک

رضا ذاکری (دانشجوی دکتری)

سیدناصر مقدس تفروشی<sup>\*</sup> (استاد)

دانشکده هنگام، دانشگاه صنعتی خواجه نصیرالدین طوسی

مهمشی عمان شرف، (ایران)، ۱۳۹۸-۱۳۹۷، پایان‌نامه، ۱۰۵-۲، شماره ۱، ص. ۱۳۴-۱۳۳، (پایان‌نامه، فصل)

در نوشتار حاضر، به منظور بررسی اثر اندازه‌ی دانه‌های خردلاستیک، نسبت خردلاستیک، اثر سربار و ضخامت لایه‌ی خاک فوکانی در رفتار مخلوط خاک و خردلاستیک، تعدادی آزمایش نفوذ سنبه بر روی خاک بدون افزودنی و مخلوط خاک - خردلاستیک با ۴ اندازه‌ی مختلف از خردلاستیک به ابعاد ۱/۲۶، ۲/۸۳، ۲/۷۶ و ۴/۷۶ میلی‌متر در درصد های وزنی ۰/۵، ۰/۵، ۰/۱۰ و سربارهای صفر، ۰/۲ و ۰/۴ کیلوگرم انجام شده است. نتایج نشان می‌دهند که افزودن حدود ۰/۷٪ وزنی خردلاستیک با اندازه‌ی بزرگ (۰/۷۶ میلی‌متر) به خاک موجب افزایش ۷۵٪ در برابری نسبت به خاک بدون افزودنی می‌شود. همچنین با افزایش سربار، برابری مخلوط افزایش می‌یابد اما نرخ افزایش باربری با افزایش آن کاهش می‌یابد. همچنین قرارگیری لایه‌ی خاک با ضخامت ۱/۵ سانتی‌متر (حدود ۰/۳ بعد سطح بارگذاری) روی مخلوط خاک با خردلاستیک با اندازه‌ی بزرگ می‌تواند موجب بهبود مقاومت، به خصوص برای مقادیر نفوذ کمتر از ۵ میلی‌متر شود. با افزایش ابعاد دانه‌های خردلاستیک در نسبت اختلاط یکسان با خاک و در محدوده‌ی موردنظری در آزمایش‌های انجام شده، مقاومت نمونه افزایش یافت.

**واژگان کلیدی:** ماسه، خردلاستیک، نسبت ابعادی، درصد بهینه‌ی خردلاستیک، باربری، نفوذ، سربار.

## ۱. مقدمه

رو استفاده از خاک جهت ترکیب با خردلاستیک، نه فقط موجب بهبود رفتار خاک و افزایش مقاومت برشی آن می‌شود، بلکه مشکل اشتعال خردلاستیک‌های پراکنده در طبیعت را برطرف می‌سازد. استفاده از خردلاستیک در مخلوط با خاک با توجه به شکل، اندازه و مقدار آن می‌تواند موجب بهبود مقاومت مخلوط، افزایش میراثی و خصوصیات کشسان آن شود. ذرات خاک در مقایسه با لاستیک، صلابت زیاد و خاصیت شکل‌پذیری ناچیزی دارند، به طوری که با استهلاک کم انرژی، بخش عمده‌ی آن را به ذرات دیگر منتقل می‌کنند. در مقابل، میراثی و مقدار جذب انرژی مناسب لاستیک (به دلیل اصطکاک سطحی و همچنین تغییرشکل آن)، موجب استهلاک بخش عمده‌ی از انرژی وارد می‌شود. بدین ترتیب با استفاده از مخلوط خاک و خردلاستیک در بستر انتظار افزایش جذب انرژی و در نتیجه کاهش مقدار تغییرشکل بستر و تنش در عمق آن در مقایسه با بستر حاوی خاک بدون افزودنی وجود دارد. در دهه‌ی اخیر، مطالعات زیادی درخصوص استفاده از خردلاستیک در مخلوط با خاک جهت کاربردهای ژئوتکنیکی انجام شده است.<sup>[۱-۷]</sup> برخی پژوهشگران<sup>[۸]</sup>، جنبه‌های مختلف اثر مخلوط نوارهای لاستیکی با خاک در ظرفیت باربری پی‌ها را با استفاده از یک مدل فیزیکی آزمایشگاهی و با بررسی عوامل مختلف، نظیر: ضخامت لایه‌ی مخلوط خاک و خردلاستیک، ضخامت لایه‌ی پوشش خاک روی لایه‌ی مخلوط و نسبت خردلاستیک در مخلوط

با توجه به افزایش روزافزون جمعیت در جهان و افزایش نیاز به حمل و نقل، حجم زیادی از لاستیک‌های فرسوده در حال تولید است. در پیشترکشوارها، لاستیک‌های فرسوده در اینبار نگهداری و یا در مدفن های زباله دفن شده‌اند.<sup>[۸]</sup> به دلیل عدم تجزیه‌ی تایرها در کوتاه‌مدت، اپیاشتگی آن‌ها باعث وقوع مشکلات و به خطر اندختن سلامت جامعه و مردم می‌شود. از این‌رو، لاستیک‌ها به صورت دانه‌ی، تراشه و پودر، به دلیل داشتن خواصی نظیر: وزن کم، تخلخل بالا، مقاومت کششی زیاد، دوام مناسب، اصطکاک بین ذره‌یی مناسب بین دانه‌ها و اندرکنش خوب آن‌ها با سایر مصالح نظیر خاک، کاربرد فراوانی در فعالیت‌های ژئوتکنیکی، نظری: اجرای خاکریز سبک، زهکش برای جاده‌ها، اجرای لایه‌های مختلف راه و مخلوط‌های آسفالتی پیدا کرده است.<sup>[۹]</sup>

در بسیاری از موارد، کاربرد خردلاستیک‌ها در پروژه‌های عمرانی و قرارگیری آن‌ها در معرض عوامل محیطی، نظیر هوا، سبب بروز مشکلات فراوانی مانند اشتعال و فرسودگی آن‌ها می‌شود.<sup>[۱۰]</sup> همچنین قابل اشتعال بودن، تغییرشکل پذیری زیاد و مشکلات تراکم، از اصلی‌ترین موانع استفاده از خردلاستیک تنها است.<sup>[۱۱]</sup> از این

\* نویسنده مسئول

تاریخ: دریافت ۲۵/۱۲/۱۳۹۵، اصلاحیه ۱۰/۴/۱۳۹۶، پذیرش ۱۹/۴/۱۳۹۶

DOI:10.24200/J30.2018.2116.2093

حائل از طرف توده‌ی پشت آن می‌شود. در سال ۱۹۹۶<sup>[۱۷]</sup> نیز قابلیت استفاده از تراشه‌های لاستیک به منظور تسليح ماسه با استفاده از دستگاه آزمایش برش مستقیم بزرگ مقیاس مطالعه و گزارش شد که وزن مخصوص توده‌ی ماسه، مقدار لاستیک خردشده و تنش نرمال، تأثیر زیادی در مقاومت برشی دارد.

همچنین در سال ۲۰۰۹<sup>[۱۸]</sup> با انجام آزمایش CBR روی مخلوط خاک و خردل‌لاستیک، مقدار بهینه‌ی خردل‌لاستیک حدود ۷/۵٪ گزارش شد. در مطالعات دیگری در همان سال<sup>[۱۹]</sup> به بررسی امکان استفاده از خردل‌لاستیک به عنوان مسلح‌کننده در لایه‌های روسازی اعطاف‌پذیر با استفاده از آزمایش برش مستقیم و CBR پرداخته شد. همچنین افزودن ۶٪ خردل‌لاستیک به خاک جهت افزایش عدد CBR، زاویه‌ی اصطکاک داخلی، و چسبندگی مخلوط خاک توصیه شد.

در مطالعاتی روی رفتار مخلوط خاک و خردل‌لاستیک<sup>[۲۰۰۸]</sup><sup>[۲۰]</sup> نیز گزارش شد که رفتار مخلوط خاک بستگی قابل توجهی به نسبت اندازه‌ی دانه‌های خردل‌لاستیک به اندازه‌ی دانه‌های خاک و همچنین نسبت سختی آن دارد. همچنین در سال ۲۰۱۵<sup>[۲۱]</sup> به بررسی اثر مقدار خردل‌لاستیک در نسبت باربری CBR مخلوط خاک و خردل‌لاستیک پرداخته شد و نتایج به دست آمده مبین کاهش نسبت باربری CBR با افزودن خردل‌لاستیک از نسبت صفر تا ۱۵ درصد وزنی بود.

اگرچه درخصوص رفتار مخلوط خاک و خردل‌لاستیک، مطالعات مختلف توسعه پژوهشگران پیشین انجام شده است<sup>[۲۲-۲۳]</sup> اما بررسی اثر اندازه‌ی دانه‌های خردل‌لاستیک (نسبت اندازه‌ی دانه‌های خردل‌لاستیک به اندازه‌ی متوسط ذرات خاک)، اثر ضخامت لایه‌ی خاک در مخلوط خاک و خردل‌لاستیک، و همچنین اثر سربار در مقدار باربری مخلوط بر روی رفتار مخلوط، به عنوان خلاء کارهای پیشین (که کتر به آن‌ها پرداخته شده است) نیازمند پژوهش بیشتر است. لذا در نوشتار حاضر، بررسی اثر پارامترهای مذکور با انجام آزمایش CBR مد نظر است. عمل استفاده از آزمایش ذکر شده، هزینه‌ی کم، دسترسی و سهولت استفاده از آن است.

## ۲. مصالح مصرفی

خاک موردنظر در کلیه‌ی آزمایش‌ها، از نوع ماسه و عاری از هرگونه الیاف گیاهی با توزیع اندازه‌ی ذرات مطابق شکل ۱ است. خاک مذکور با اندازه‌ی بیشینه‌ی دانه‌ی ۱۰ میلی‌متر و متوسط اندازه‌ی دانه‌ی ۲ میلی‌متر ( $D_{50} = 2 mm$ ) است و مطابق سیستم طبقه‌بندی ۱۱-۲۴۸۷ ASTM<sup>[۲۲]</sup> به عنوان ماسه با اندازه‌ی ذرات ماسه خوب (SW) طبقه‌بندی می‌شود. توده‌ی ویژه‌ی خاک موردنظر نیز مطابق روش ASTM D۸۵۴-۹۲<sup>[۲۳]</sup> با این نام معرفی شده است. همچنین با انجام آزمایش تراکم استاندارد (شکل ۲) مطابق دستورالعمل ۱۲-۶۹۸ ASTM<sup>[۲۴]</sup> مقدار بیشینه‌ی وزن مخصوص خشک و رطوبت بهینه‌ی آن به ترتیب حدود ۱/۹۲ گرم بر سانتی‌متر مکعب و ۱۱/۵٪ و مطابق D۴۲۵۴-۰۰ ASTM<sup>[۲۵]</sup> کمینه‌ی وزن مخصوص خشک آن برابر ۱/۵۷ گرم بر سانتی‌متر مکعب به دست آمدند.

جهت بررسی اثر اندازه‌ی دانه‌های خردل‌لاستیک، از ۴ اندازه‌ی مختلف خردل‌لاستیک، همگی از یک جنس استفاده شد. خردل‌لاستیک‌ها، عاری از هر گونه نخ، سیم آهنی و آلودگی هستند و جذب آب محسوسی ندارند. توده‌ی ویژه‌ی خردل‌لاستیک‌ها براساس دستورالعمل D۸۵۴-۹۲ ASTM<sup>[۲۶]</sup> برابر ۱/۲ تعیین شد. جدول ۱، مشخصات خردل‌لاستیک‌ها (اندازه‌های ۱ تا ۴) و شکل ۳، تصاویری از شکل ظاهری آن‌ها را نشان می‌دهند. منظور از اندازه‌ی متوسط دانه‌های خردل‌لاستیک ( $D_R$ )، آن است که بزرگ‌ترین بعد دانه‌ی خردل‌لاستیک در نزدیکی  $D_R$  قرار دارد.

مطالعه کردن و رفتار تشن - نشست و نحوه‌ی گسیختگی خاک زیر بی در حالت عدم وجود خردل‌لاستیک را تابعی از نوع خاک و تراکم آن و در حالت وجود یک لایه از مخلوط خاک - خردل‌لاستیک در بستر، این رفتار را علاوه بر نوع خاک و تراکم آن به نسبت خردل‌لاستیک و ضخامت لایه‌ی مخلوط وابسته دانستند.<sup>[۲۷]</sup> آن‌ها همچنین گزارش کردند که بیشینه‌ی مقدار برابر بی در یک مقدار نشست معین، صرف‌نظر از نسبت خردل‌لاستیک برای ضخامت لایه‌ی مخلوط حدود ۵/۵ برابر بعد بی رخ می‌دهد. همچنین آن‌ها مقدار بهینه‌ی نسبت خردل‌لاستیک را در محدوده‌ی ۲/۵ تا ۵ درصد گزارش کردند.

در سال ۱۴، نیز در بررسی اثر تسليح خاک با استفاده از تکه‌های لاستیک و تشییت آن با سیمان، با انجام آزمایش‌های CBR و مقاومت تراکمی تک محوری مشاهده شد که با افزایش زمان عمل آوری، مقاومت فشاری محدود نمی‌شود و مقدار CBR نمونه افزایش می‌یابد. همچنین نسبت خردل‌لاستیک ۵٪ به عنوان مقدار بهینه‌ی آن، برای دست‌یابی به بیشینه‌ی مقاومت فشاری محدود نشده و مقدار CBR گزارش شد.<sup>[۲۸]</sup> همچنین در سال ۱۵، با انجام آزمایش برش مستقیم بزرگ مقیاس بر روی مخلوط ماسه و خردل‌لاستیک، افزایش مقاومت برشی مخلوط نسبت به فقط ماسه با افزایش خردل‌لاستیک از صفر تا ۳۰ درصد وزنی گزارش شد. و عمل آن به افزایش قفل و بست بین دانه‌های خاک و خردل‌لاستیک نسبت داده شد.<sup>[۲۹]</sup>

همچنین در سال ۱۵<sup>[۳۰]</sup> با انجام آزمایش برش مستقیم بزرگ مقیاس بر روی مخلوط ماسه و خردل‌لاستیک مشاهده شد که با افزایش مقدار خردل‌لاستیک تا ۳۰٪ وزنی، مقاومت برشی بیشینه، افزایش و برای مقادیر بیشتر خردل‌لاستیک، مقاومت برشی کاهش می‌یابد. در ضمن مشاهده شد که با افزایش نسبت خردل‌لاستیک، سختی اولیه‌ی مخلوط کمتر می‌شود. در سال ۲۰۰۶<sup>[۳۱]</sup> نیز با انجام آزمایش‌های سه‌محوری فشاری روی مخلوط خاک دانه‌ی خردل‌لاستیک با ابعاد و مقادیر مختلف از خردل‌لاستیک مشاهده شد که افزودن ۲۰٪ خردل‌لاستیک با نسبت خردل‌لاستیک (نسبت ابعاد دانه‌های خردل‌لاستیک به ماسه) ۲ به ماسه، موجب افزایش ۲ درجه در زاویه‌ی اصطکاک زهکشی نشده و افزایش چسبندگی مخلوط تا حدود ۱۸ کیلوپاسکال شده است.

همچنین در سال ۲۰۰۷<sup>[۳۲]</sup> با بررسی رفتار تشن - تغیرشکل و مشخصه‌ی موج برشی در مخلوط ماسه - خردل‌لاستیک، دو پارامتر نسبت اندازه‌ی ذرات ماسه به خردل‌لاستیک و همچنین درصد خردل‌لاستیک از مهم‌ترین عوامل مؤثر در رفتار مخلوط معرفی شدند. در سال ۲۰۰۶<sup>[۳۳]</sup> نیز با انجام آزمایش سه‌محوری روی مخلوط ماسه و خردل‌لاستیک به بررسی رابطه‌ی تشن - کرنش و پارامترهای مقاومتی مخلوط پرداخته و در مقادیر اصطکاک داخلی و چسبندگی ماسه به علت افزودن خردل‌لاستیک، تا حدود ۱۵٪ افزایش گزارش شد.

همچنین در سال ۲۰۱۱<sup>[۳۴]</sup> با انجام آزمایش برش مستقیم روی دو مخلوط ماسه و خردل‌لاستیک با دونوع ماسه (سطح زبر و نرم) و مقادیر ۵، ۱۰، ۲۰ و ۵۰ درصد وزنی خردل‌لاستیک (بدون اشاره به ابعاد دانه‌های خردل‌لاستیک) گزارش شد که مقاومت برشی و زاویه‌ی اصطکاک داخلی هر دو مخلوط به از ۱۰٪ وزنی خردل‌لاستیک کاهش یافته و با توجه به کاهش ۱۰٪ وزن مخلوط ماسه و خردل‌لاستیک نسبت به فقط ماسه، استفاده از مخلوط مذکور به عنوان مصالح خاکریز سبک روی بستر ضعیف و همچنین به عنوان مصالح پشت دیوار حائل توصیه شده است.<sup>[۳۵]</sup>

برخی پژوهشگران<sup>[۳۶]</sup> نیز قابلیت جذب انرژی مخلوط ماسه و خردل‌لاستیک را مطالعه و مشاهده کردنده که استفاده از مخلوط خاک و خردل‌لاستیک در پشت دیوار حائل، ضمن استهلاک انرژی ناشی از زلزله، با کاهش وزن نهایی مجموعه‌ی مصالح پشت دیوار نسبت به فقط خاک، موجب کاهش نیروهای وارد بر دیوار

### جدول ۱. مشخصات خرددهای لاستیک.

$\frac{(D_r)}{(D_s)_S}^*$	اندازه (امیلی متر)	اندازه
۲/۳۸	۴/۷۶	۱
۱/۴۱	۲/۸۳	۲
۱	۲	۳
۰/۶۳	۱/۲۶	۴

\* $D_R$  و  $(D_{50})_S$  به ترتیب اندازه‌ی متوسط ذرات خاک

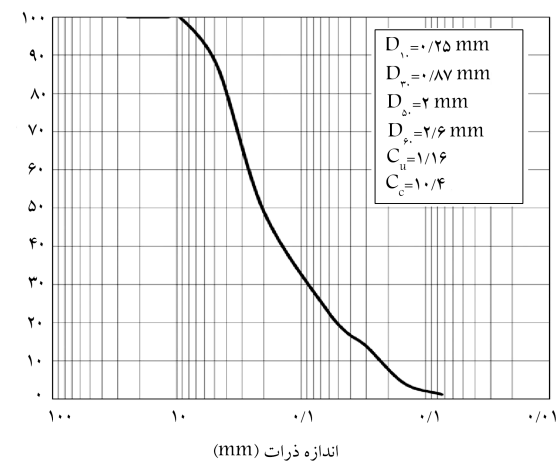
و اندازه‌ی متوسط دانه‌های خردله‌لاستیک هستند.

\*\*منظور از نسبت اختلاط خردله‌لاستیک و ماسه، نسبت وزنی آن‌ها است.

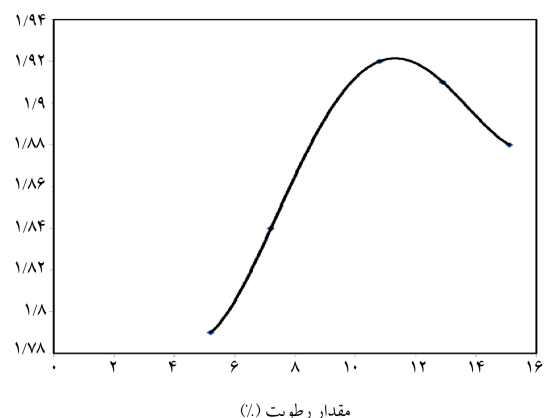
خردله‌لاستیک لازم نیز به ۲ قسمت هموزن تقسیم شد. سپس هر دو سهم خاک (در نمونه‌های مخلوط خاک-خردله‌لاستیک: یک سهم خاک و یک سهم خردله‌لاستیک) با یکدیگر مخلوط شدند. این تذکر لازم است که با توجه به تراکم پذیری کم مخلوط خاک و خردله‌لاستیک و عدم وجود استاندارد خاص برای تراکم مخلوط مورد بحث، هدف اصلی حصول تراکم و داشتن وزن مخصوص یکنواخت در کل نمونه است. در مطالعه‌ی حاضر، به منظور ایجاد شرایط مناسب جهت مقایسه‌ی نتایج آزمایش‌ها، با ثابت نگه داشتن درصد تراکم ( $\frac{\gamma_d}{\gamma_{d_{max}}}$ ) برابر ۹۳٪ (در محدوده‌ی تراکم موردنظر در خاک‌بریزهای راه) تغییر انرژی تراکم در نمونه‌های مختلف، نمونه‌ها براساس اطلاعات جدول ۲ آماده شدند. به عبارتی، کلیه‌ی نمونه‌ها صرف نظر از مقدار خردله‌لاستیک و ابعاد خردله‌لاستیک با ۱۱/۵٪ رطوبت و در تراکم ۹۳٪ تهیه شدند. مقدار خاک موردنیاز (با مخلوط خاک- خردله‌لاستیک موردنیاز) جهت رسیدن به تراکم مذکور در ۸ قسمت وزنی مساوی و با تعداد ضربات مشخص در قالب آزمایش CBR به قطر ۱۵/۲ سانتی‌متر و ارتفاع ۱۱/۶ سانتی‌متر ریخته و هر لایه با استفاده از کوبه‌یی به وزن ۵/۳ کیلوگرم و با ارتفاع سقوطی مطابق جدول ۲ مترکم شد. لازم به ذکر است که اطلاعات مندرج در جدول ۲، شامل تعداد ضربات و ارتفاع سقوط وزنه برای هر لایه (در جهت رسیدن به تراکم موردنظر) با آزمون و خطأ حاصل شده است. مطابق جدول مذکور، با کاهش ابعاد خردله‌لاستیک و یا افزایش درصد آن، انرژی بیشتری جهت تراکم مخلوط خاک و لاستیک جهت رسیدن به درصد تراکم موردنظر لازم است. این موضوع به عملت حاکم شدن رفتار لاستیک با افزایش مقدار خردله‌لاستیک و افزایش سطح تماس بین ذرات خاک بالا لاستیک است، به طوری که برای خرددهای لاستیک با اندازه‌ی ۴ (جدول ۱) و مقدار وزنی ۱۲٪ حتی با ۵۶ ضربه در هر لایه نیز امکان رسیدن به تراکم موردنیاز مقدور نشد. در پروژه‌های عملی، با توجه به حجم زیاد مخلوط در صورت اختلاط کافی و مناسب خاک و خردله‌لاستیک، دستیابی به مخلوط یکنواخت با عملکرد مناسب دور از انتظار نخواهد بود.

پس از آماده‌سازی و قرار دادن نمونه بر روی دستگاه و زیر محور اعمال بار، تنش روی سطح نمونه در سطحی دایره‌یی با قطر ۵ سانتی‌متر (سیستم بازگذاری) اعمال می‌شود. در کلیه‌ی آزمایش‌ها، بازگذاری تا رسیدن مقدار نفوذ سنبه به ۲۰ میلی‌متر (قرانت مقادیر بار باری نفوذ سنبه از صفر تا ۲۰ میلی‌متر به فواصل ۰/۵ میلی‌متر) ادامه یافت. برای تراکم خاک، مقدار انرژی (E) در جدول ۲ از رابطه‌ی ۱ حاصل می‌شود که در آن  $n$  تعداد ضربه به ازاء هر لایه،  $m$  تعداد لایه،  $W$  وزن کوبه،  $h$  ارتفاع سقوط و  $V$  حجم قالب است.

$$E = \frac{n \times m \times W \times h}{V} \quad (1)$$



شکل ۱. منحنی دانه‌بندي خاک ماسه‌ی مورد آزمایش.



شکل ۲. تغییرات وزن مخصوص خشک خاک ماسه در مقابل درصد رطوبت آن.



شکل ۳. تصویر ۴ اندازه‌ی خردله‌لاستیک با ابعاد متوسط ( $D_R$ ) برابر.

### ۳. آماده‌سازی نمونه‌ها

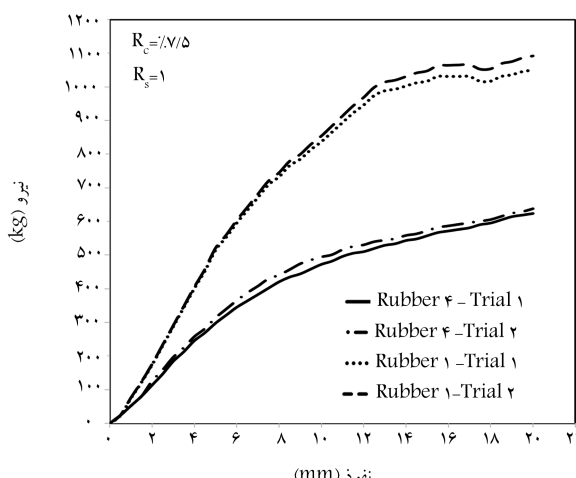
با درنظر گرفتن چگالی موردنظر برای نمونه‌ی خاک بدون افزودنی و نمونه‌ی مخلوط خاک- خردله‌لاستیک، پس از اختلاط خاک و ۱۱/۵٪ آب، مخلوط حاصل به ۲ قسمت با وزن مساوی تقسیم شد. در نمونه‌های مخلوط خاک خردله‌لاستیک، مقدار

جدول ۲. مشخصات تراکم خاک و لایه‌ی خاک - خردلاستیک.

E/E <sup>***</sup> <sub>soil</sub>	E <sup>**</sup>	انرژی	ارتفاع سقوط (cm)	تعداد ضربه	خردلاستیک		نمونه
					اندازه	نسبت *	
۱	۴۸۹		۵	۵	۰	-	خاک بدون افزودنی
۱,۲	۵۸۷		۵	۶	۲,۵	۱	مخلوط
۲,۲	۱۵۶۷		۱۰	۸	۵	۱	مخلوط
۴,۸	۲۳۵۱		۱۰	۱۲	۷,۵	۱	مخلوط
۷,۶	۳۷۲۲		۱۰	۱۹	۱۰	۱	مخلوط
۵,۶	۲۷۴۲		۱۰	۱۴	۲,۵	۲	مخلوط
۷,۲	۳۵۲۶		۱۰	۱۸	۲,۵	۳	مخلوط
۹,۶	۴۷۰۲		۱۰	۲۴	۲,۵	۴	مخلوط

\* درصد وزنی خردلاستیک نسبت به وزن خاک  $(kN - m/m^3)$  \*\* انرژی تراکم لایه

\*\*\* نسبت انرژی مورد نیاز برای تراکم مخلوط نسبت به انرژی مورد نیاز

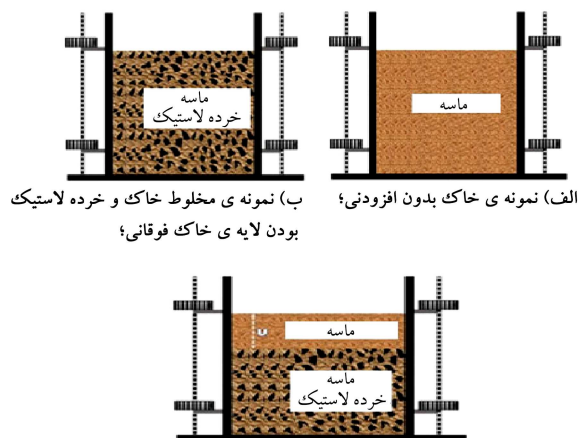


شکل ۵. تغییرات بار - نفوذ برای مخلوط با نسبت خردلاستیک ۷/۵٪ برای دو اندازه‌ی ۱ و ۴ در فشار سربار ۲ کیلوگرم.

جهت بررسی تکرارپذیری و صحت نتایج آزمایش‌ها تکرار شدند. شکل ۵، تغییرات بار - نفوذ برای مخلوط با نسبت خردلاستیک ۷/۵٪ را با دو اندازه‌ی ۱ و ۴ در فشار سربار ۲ کیلوگرم و شکل ۶، تغییرات ذکر شده را برای نمونه‌ی مخلوط با نسبت خردلاستیک ۷/۵٪ را با دو اندازه‌ی ۱ و ۴ در حالت وجود ۱/۵ سانتی‌متر لایه‌ی ماسه روی مخلوط ارائه می‌دهند. مطابق شکل‌های مذکور، اختلاف نتایج حاصل از دو آزمایش در شرایط کاملاً یکسان کمتر از ۶٪ است که این اختلاف در محدوده‌ی مطالعات زوتکنیکی قابل قبول است.<sup>[۸]</sup>

## ۶. نتایج آزمایش‌ها

هدف از انجام آزمایش‌های CBR، بررسی اثر نسبت خردلاستیک، فشار سربار، اندازه‌ی دانه‌های لاستیک، و ضخامت لایه‌ی فوقانی خاک در رفتار مخلوط خاک - خردلاستیک با تراکم یکسان؛ با توجه به برنامه‌ی آزمایش‌های موردنظر (جدول ۳) است. نتایج آزمایش‌ها با ترسیم منحنی نفوذ بر حسب نیرو و جهت تشریح بیشتر نتایج، با رسم منحنی نیرو بر حسب نسبت خردلاستیک، فشار سربار، ابعاد خردلاستیک، و ضخامت لایه‌ی رویه‌ی فوقانی در مقادیر نفوذ مختلف بررسی شده است.



ج) نمونه‌ی مخلوط خاک و خردلاستیک و لایه‌ی خاک به ضخامت ۱۱ در بالای آن.

شکل ۴. شرایط آزمایش در حالت‌های مختلف.

## ۴. برنامه‌ی آزمایش‌ها

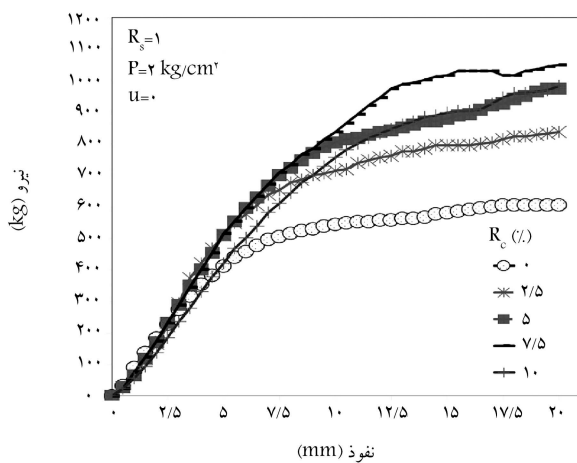
تعداد ۱۴ آزمایش CBR مستقل روی نمونه‌های خاک بدون افزودنی و نمونه‌های مخلوط خاک - خردلاستیک مطابق جدول ۳، جهت بررسی اثر نسبت خردلاستیک (درصد وزنی خردلاستیک نسبت به وزن خاک)، اندازه‌ی ذرات خردلاستیک (اندازه‌ی خردلاستیک در جدول ۱)، ضخامت لایه‌ی خاک روی مخلوط و اثر سربار (سه سربار صفر، ۲ و ۴ کیلوگرم) انجام شد. لازم به ذکر است که به منظور حصول اطمینان از نحوه‌ی آماده‌سازی نمونه‌ها، اختلاط خاک و خردلاستیک و اندازه‌گیری پارامترهای موردنظر و همچنین تکرارپذیری نتایج، تعدادی از آزمایش‌ها ۲ یا ۳ بار انجام شده‌اند. شکل ۴، شرایط آزمایش در حالت‌های مختلف را نشان می‌دهد.

## ۵. تکرارپذیری نتایج

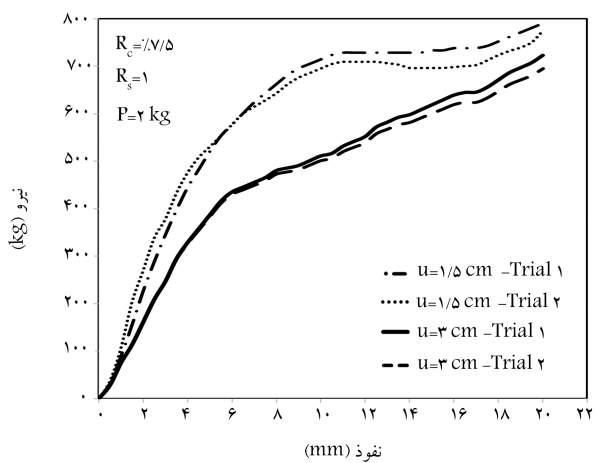
از جمله مسائل مهم در مطالعات آزمایشگاهی، کنترل تکرارپذیری نتایج به منظور حصول اطمینان از عملکرد سیستم آزمایش، اندازه‌گیری مقادیر پارامترهای ورودی، خروجی، و دقت در آماده‌سازی نمونه‌های آزمایش است. لذا تعداد ۱۱ آزمایش

جدول ۳. برنامه‌ی آزمایش‌ها.

سری آزمایش	اندازه‌ی خردلاستیک ( $R_s$ )	سربار ( $P$ kg)	نسبت * خردلاستیک ( $R_c$ )	ضخامت لایه‌ی خاک فوکانی	تعداد آزمایش	هدف
				صفرا	$u$ (cm)	
۱	-	-	-	۲/۵	۱	آزمایش مرجع روی خاک بدون افزودنی
۲	۱	۲	۷/۵	۵	۳	بررسی اثر نسبت خردلاستیک
۳	۱	۲	۷/۵	۱/۵	۳	بررسی اثر ضخامت لایه‌ی فوکانی
۴	۳	۲	۷/۵	۲	۲	بررسی اثر اندازه‌ی خردلاستیک
۵	۱	۴	۷/۵	۰	۲	بررسی اثر سربار



شکل ۷. تغییرات نیرو بر حسب نفوذ برای درصدهای مختلف خردلاستیک.



شکل ۶. تغییرات بار - نفوذ مخلوط با نسبت خردلاستیک ۷/۵٪ با اندازه‌ی ۱ و فشار سربار ۲ کیلوگرم برای دو ضخامت لایه‌ی خاک فوکانی ۱/۵ و ۳ سانتی‌متر.

کار افتادن اصطکاک در سطح تماس دانه‌ها، آثار افزودن خردلاستیک به مخلوط بیشتر نمایان می‌شود. همچنین با افزودن خردلاستیک به ماسه بیش از ۷/۵٪، شب اولیه‌ی نمودار نیرو - نفوذ (معرف مدول کشسان مجموعه) کاهش می‌یابد. این موضوع نشان می‌دهد که با افزایش نسبت خردلاستیک به خاک و با توجه به کمتر بودن مقدار مدول برشی لاستیک نسبت به ماسه و تمایل رفتار مخلوط به رفتار لاستیک، شب اولیه‌ی نمودار نیرو - نفوذ با افزایش نفوذ کاهش می‌یابد. مطابق شکل ۷ و درنظر گرفتن این موضوع که در آزمایش CBR نوعی گسیختگی برشی رخ می‌دهد، می‌توان گفت که با افزایش نسبت خردلاستیک به ماسه تا مقدار درصد بهینه، حفره‌های خالی بین ذرات ماسه با خردلاستیک پر می‌شوند. لذا با نفوذ سنبه‌ی بارگذاری و فرو رفتن دانه‌های خردلاستیک در بین دانه‌های ماسه، نفوذ سنبه‌ی بارگذاری و درگیری بین دانه‌ها و به عبارتی اصطکاک بین دانه‌های مخلوط افزایش می‌یابد. افزایش بیش از حد خردلاستیک به خاک (بیش از مقدار بهینه‌ی

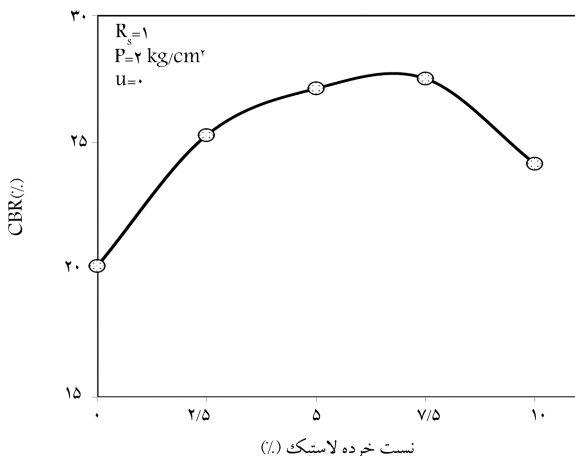
### ۱.۶. تأثیر نسبت خردلاستیک

در شکل ۷، تغییرات نیرو بر حسب نفوذ برای مقادیر مختلف خردلاستیک مشاهده می‌شود. آزمایش‌های مذکور روی نمونه‌هایی با نسبت خردلاستیک صفر، ۲/۵، ۵، ۷/۵ و ۱۰ درصد با ابعاد متوسط ۴،۷۵ میلی‌متر (خردل استیک اندازه‌ی ۱ در جدول ۱)، ۱۱،۵٪ رطوبت و تراکم ۹۳٪ انجام شده‌اند. با ثابت نگه داشتن درصد رطوبت و تراکم نمونه‌ها، امکان مقایسه‌ی منطقی بین نتایج آزمایش‌ها فراهم شده است. مطابق شکل ۷، با افزودن خردلاستیک به مخلوط تا ۷/۵٪ وزنی، برابری و سختی نمونه افزایش و سپس با افزودن ۱۰٪ وزنی خردلاستیک به آن، برابری کاهش می‌یابد. همچنین تأثیر افزودن خردلاستیک به ماسه در نفوذ‌های کمتر از ۲/۵ میلی‌متر ناچیز بوده و رفتار مخلوط ماسه - خردل استیک، تقریباً مشابه رفتار فقط ماسه است. با افزایش نفوذ، ایجاد درگیری بین دانه‌های خاک و خردل استیک و به

مخلوط افزایش می‌یابد. این رفتار به علت کاهش حفره‌های خالی بین دانه‌ها و پرشدن آن با خردل استیک‌های تغییرشکل یافته، تحت فشار ناشی از نفوذ سنبه است. با ادامه‌ی نفوذ، به دلیل عدم امکان وقوع تغییرشکل بیشتر در دانه‌های لاستیک، نرخ افزایش در مقاومت مخلوط کاهش می‌یابد.

شکل ۹. تغییرات ضریب باربری کالیفرنیایی (CBR) نمونه‌ها را در مقابل نسبت خردل استیک نشان می‌دهد. به منظور به دست آوردن مقدار CBR در یک درصد مشخص خردل استیک، از بیشترین مقدار CBR در نفوذ‌های ۲/۵، ۵، ۷/۵، ۱۰، ۱۲/۵ و ۱۶٪ (ASTM D ۱۸۸۳-۱۶<sup>[۲۱]</sup>) شکل مذکور نشان می‌دهد که با افزایش نسبت خردل استیک تا ۷/۵٪، مقدار CBR افزایش و بعد از آن کاهش می‌یابد. بیشینه‌ی مقدار افزایش CBR در مقایسه با حالت فقط ماسه، حدود ۳/۸٪ است. این موضوع بیانگر مقادیر بهینه‌ی خردل استیک ۷/۵٪ برای دست‌یابی به بیشینه‌ی مقدار CBR مخلوط خاک - خردل استیک است. این تذکر لازم است که مقدار بهینه‌ی ۷/۵٪ خردل استیک، فقط براساس آزمایش روی خردل استیک اندازه‌ی ۱ به دست آمده است. لذا با توجه به اینکه نسبت اندازه‌ی دانه‌های خردل استیک به اندازه‌ی دانه‌های خاک، اثر قابل توجهی در تخلخل و در نتیجه رفتار مخلوط دارد، لذا جهت تعیین مقدار بهینه‌ی خردل استیک با اندازه‌های ۲، ۳ و ۴ انجام آزمایش‌های بیشتر در مطالعات آتی توصیه می‌شود.

برخی دیگر از پژوهشگران<sup>[۱۶]</sup>،<sup>[۲۰۰۹]</sup> با انجام آزمایش روی مخلوط شن و خردل استیک با ابعاد ۲ تا ۲/۵ میلی‌متر در حالت رطوبت بهینه مشاهده کردند که مقدار بهینه‌ی ۷/۵٪ وزنی خردل استیک موجب افزایش ۳۰ درصدی مقدار CBR می‌شود. همچنین در پژوهشی در سال ۲۰۰۹<sup>[۱۶]</sup> درخصوص روسازی انعطاف‌پذیر قرارگرفته بر بستر متورم‌شونده با اساس مخلوط شن - خردل استیک، افزایش ۶/۶٪ در مقدار CBR به ازاء نسبت خردل استیک بهینه معادل ۵٪ گزارش شده است. به هر حال نسبت خردل استیک ۷/۵٪ به عنوان مقدار بهینه با مقادیر حاصل از برخی مطالعات<sup>[۱۸]</sup>،<sup>[۱۹]</sup><sup>[۲۹]</sup> سازگاری مناسبی دارد. این تذکر لازم است که برخی پژوهشگران<sup>[۲۱]</sup> برخلاف نتایج حاصل در مطالعه‌ی حاضر و مطالعات برخی دیگر از پژوهشگران<sup>[۱۸]</sup>،<sup>[۲۰]</sup><sup>[۲۱]</sup> کاهش نسبت برابر CBR را با افزودن خردل استیک در محدوده‌ی نسبت صفر تا ۱۵ درصد وزنی گزارش کردند. علت این امر را می‌توان به تفاوت در اندازه‌ی دانه‌های خردل استیک و نسبت اندازه‌ی آن به اندازه‌ی دانه‌های خاک نسبت داد.

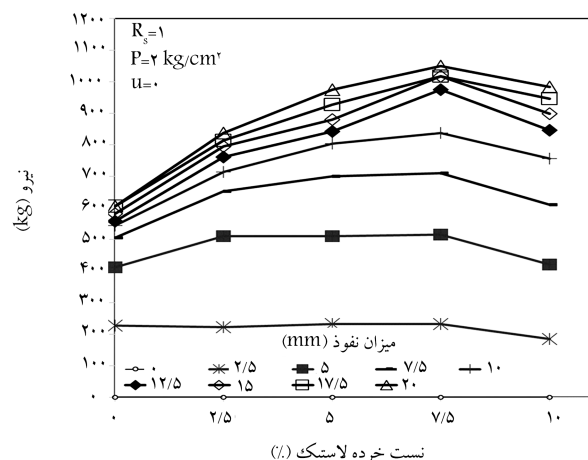


شکل ۹. مقدار CBR نمونه‌ها در مقابل نسبت خردل استیک.

سطح تماس بین دانه‌ها و مقاومت مخلوط می‌شود. این موضوع میین وابستگی رفتار مخلوط ماسه و خردل استیک به حجم فضای خالی بین دانه‌های آن است. از طرف دیگر، مقدار مقاومت برشی مخلوط نسبت به فقط خاک، وابسته به میزان سطح تماس دانه‌های خاک و خردل استیک است. لذا می‌توان گفت، افزودن مقدار بهینه‌ی خردل استیک به مخلوط، موجب پرشدن حفره‌های خالی بین دانه‌ها و افزایش سطح تماس بین دانه‌ها می‌شود. در مقابل، افزایش بیش از حد خردل استیک به خاک موجب جدایی دانه‌ها از یکدیگر و افزایش فضای خالی بین دانه‌ها، در نتیجه کاهش سطح تماس دانه‌ها، اصطکاک داخلی مخلوط، و مقاومت برشی آن می‌شود.

برخی پژوهشگران<sup>[۱۹۹۶]</sup> در مطالعات خود بیان کردند که مقاومت برشی مخلوط ماسه و خردل استیک با افزودن خردل استیک به خاک بیش از مقدار بهینه‌ی آن، کاهش می‌یابد. آن‌ها علت این امر را به تشابه بیشتر مخلوط به توده‌یی از خردل استیک با دانه‌ایی از ماسه در داخل خود با رفتار مکانیکی غالباً خردل استیک نسبت دادند. برخی دیگر<sup>(۲۰۱۴)</sup>،<sup>[۲۴]</sup> نیز با انجام آزمایش بارگذاری صفحه روی بستر حاوی مخلوط خاک - خردل استیک به نسبت‌های وزنی ۴، ۶، ۸، ۱۰، ۱۲، ۱۴ و ۱۶ درصد مشاهده کردند که با افزایش نسبت خردل استیک تا ۷/۸٪، ظرفیت باربری صرف نظر از تراز نشستی بی افزایش و پس از آن کاهش می‌یابد. آن‌ها دلیل افزایش ذکر شده را بیشترشدن مدول برشی بستر زیر سطح بارگذاری و اثر تسلیح خردل استیک در مخلوط با خاک بیان کردند. همچنین کاهش مقاومت به ازاء مقدار خردل استیک بیش از ۸٪ وزنی را به علت افزایش تخلخل خاک و بیشتر شدن شکل‌پذیری بستر حاوی مخلوط خاک - خردل استیک و در نتیجه، کاهش مدول برشی بستر زیر سطح پی نسبت دادند.

به منظور روش‌شن شدن بهتر اثربخشی خردل استیک و مقدار نفوذ سنبه در مقاومت مخلوط، در شکل ۸، تغییرات نیرو بر حسب نسبت خردل استیک را در مقادیر نفوذ مختلف مشاهده می‌شود؛ که مطابق آن عملکرد خردل استیک در مخلوط در مقادیر نفوذ ۲/۵ میلی‌متر ناچیز است، اما با افزایش مقدار نفوذ سنبه در خاک، تفاوت بین بیشینه‌ی نیرو در خاک بدون افزودن و مخلوط خاک - خردل استیک بیشتر می‌شود. این امر میین افزایش سطح تماس بین ذرات خاک و ذرات خردل استیک با خاک - خردل استیک در نتیجه افزایش بارگذاری، با نفوذ سنبه (تراکم توده‌ی زیر سطح بارگذاری) و در نتیجه افزایش بارگذاری آن است. همچنین با افزایش مقدار نفوذ در بستر، بارگذاری



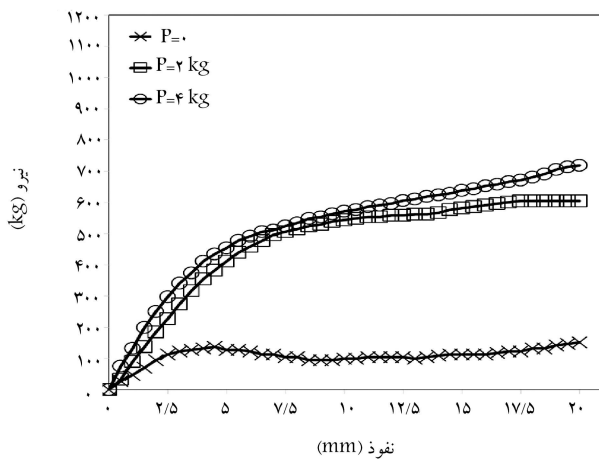
شکل ۸. تغییرات نیرو بر حسب درصد لاستیک در مقادیر نفوذ مختلف.

بعد، می‌توان انتظار داشت که نه فقط مذول اولیه‌ی مخلوط حاوی خردل‌استیک با ابعاد کوچک‌تر باشد، بلکه افزایش مقاومت مخلوط نسبت به خاک بدون افزودنی (در شکل ۱۰) رخ ندهد. این تذکر لازم است که مطالعه‌ی حاضر محدود به ابعاد خردل‌استیک موردنظر در جدول ۱ است، به طوری که در محدوده‌ی ذکر شده، مقادیر بهینه‌یی برای ابعاد خردل‌استیک مشاهده نشده است. لذا در صورتی که آزمایش با ابعاد بزرگ‌تر خردل‌استیک انجام گیرد، دست‌یابی به مقادیر مقاومت مخلوط از مقاومت خاک بدون افزودنی نیز کمتر می‌شود.

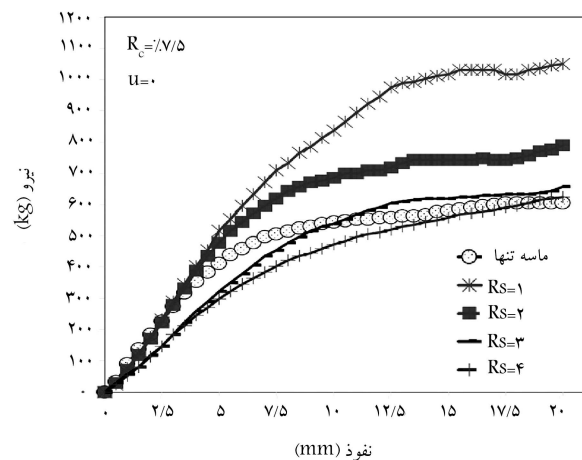
**۲.۶. تأثیر ابعاد دانه‌های خردل‌استیک**  
در شکل ۱۰، تغییرات نیرو بر حسب نفوذ برای مخلوط با ابعاد مختلف خردل‌استیک ( $R_c = 1, 2, 3, 4$ ) و  $7/5\%$  وزنی خردل‌استیک مشاهده می‌شود که مطابق آن با کاهش ابعاد متوسط دانه‌های خردل‌استیک، با برپای مخلوط کاهش می‌باید، به طوری که برای مخلوط خاک با خردل‌استیک‌های با اندازه‌های ۳ و ۴، مقادیر مقاومت مخلوط از مقاومت خاک بدون افزودنی نیز کمتر می‌شود.

جهت بررسی دقیق‌تر اثر ابعاد دانه‌های خردل‌استیک، در شکل ۱۱، تغییرات نیرو در مقابل نسبت ابعاد متوسط دانه‌های خردل‌استیک به خاک در مقادیر مختلف نفوذ سنبه مشاهده می‌شود؛ که مطابق آن در مقادیر کم نفوذ، تفاوت بین مقاومت مخلوط با ابعاد بزرگ و کوچک خردل‌استیک کم است، اما با افزایش نفوذ سنبه به داخل مخلوط، اختلاف ذکر شده بیشتر می‌شود. علت مقاومت بیشتر مخلوط با اندازه‌ی بزرگ‌تر خردل‌استیک را می‌توان از یک طرف به نسبت تخلخل مجموعه‌ی مخلوط خاک و خردل‌استیک و نسبت سختی دانه‌های اجزاء اتصالاتی و از طرف دیگر، به افزایش اصطکاک تماسی و اندرکنش بهتر بین دانه‌های خاک - خردل‌استیک نسبت داد. به عبارت دیگر، با توجه به سختی کمتر و قابل توجه دانه‌های خردل‌استیک با کوچک‌ترین بعد در مقایسه با دانه‌های خردل‌استیک با بزرگ‌ترین

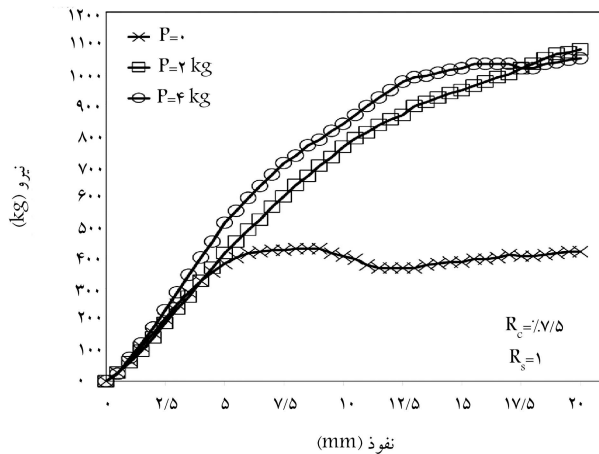
**۳.۶. تأثیر فشار سربار**  
شکل‌های ۱۲ و ۱۳، به ترتیب تغییرات نیرو بر حسب نفوذ برای نمونه‌ی خاک بدون افزودنی و مخلوط خاک - خردل‌استیک با نسبت خردل‌استیک  $7/5\%$  با اندازه‌ی ۱ (جدول ۱) را برای مقادیر فشار سربار صفر، ۲ و ۴ کیلوگرم نشان می‌دهند. همان‌طور که مشاهده می‌شود، فشار سربار (یا به تعبیری فشار همه‌جانبه) تأثیر محسوسی در نتایج دارد به طوری که با افزایش آن، پاره‌ی نمونه صرف نظر از وجود یا عدم وجود خردل‌استیک افزایش می‌باید. همچنین مشاهده می‌شود که تأثیر افزودن خردل‌استیک در مقاومت مخلوط در فشارهای همه‌جانبه‌ی کم، بیشتر است و نیز نتایج نشان



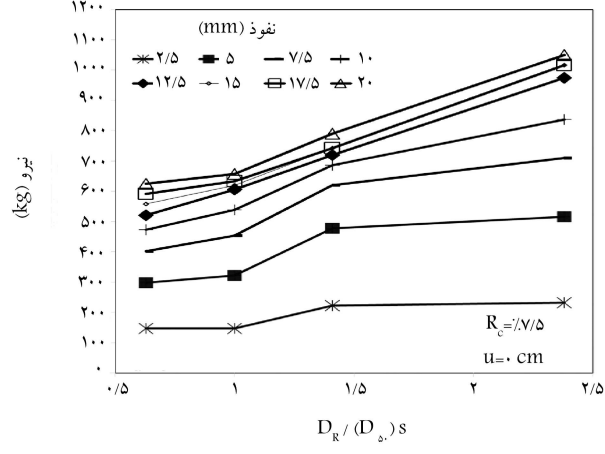
شکل ۱۲. تغییرات نیرو بر حسب نفوذ برای فقط ماسه در مقادیر مختلف سربار.



شکل ۱۰. تغییرات نتش بر حسب مقدار نفوذ برای ابعاد مختلف خردل‌استیک.



شکل ۱۳. تغییرات نیرو بر حسب نفوذ برای مخلوط ماسه و خردل‌استیک در مقادیر مختلف سربار.

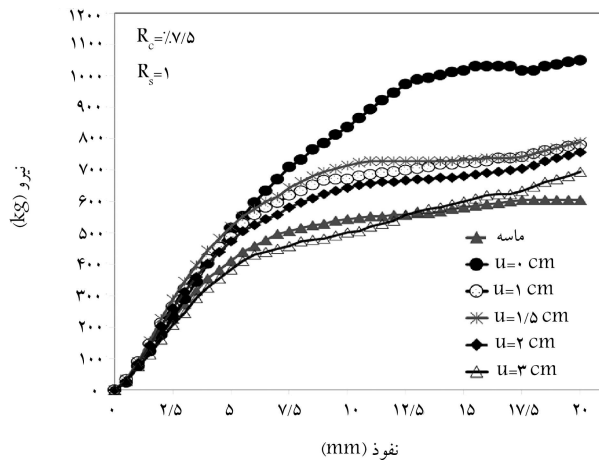


شکل ۱۱. تغییرات نیرو در مقابل نسبت ابعاد دانه‌های خردل‌استیک به ابعاد متوسط دانه‌های ماسه  $(D_R / D_s)$  در مقادیر مختلف نفوذ.

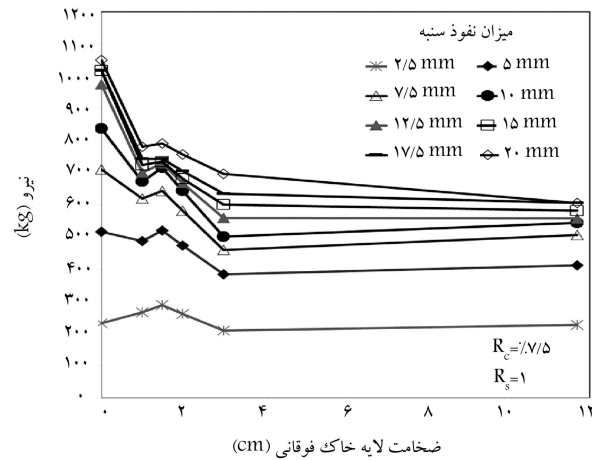
مشاهده شد که باربری پی با قرار دادن لایه‌یی از ماسه به ضخامت مناسب روی مخلوط خاک، نسبت به حالت عدم وجود لایه‌یی مذکور روی مخلوط خاک بهبود می‌یابد.

لذا با توجه به نتایج شکل‌های ۱۴ و ۱۵، افزایش باربری بستر با قرارگیری لایه‌ی خاک فوقانی به ضخامت ۱/۵ سانتی‌متر تا نشسته‌های حدود ۵ میلی‌متر (۱۰٪) بعد سنبه‌ی بارگذاری به قطر ۵ سانتی‌متر و در محدوده‌ی نشسته‌های قابل قبول پی‌ها و بستر راه‌ها) با نتایج پژوهش‌های اخیر<sup>[۸]</sup> تطبیق دارد.

از آنجا که استفاده از مخلوط خاک و خرده‌لاستیک بدون وجود لایه‌ی خاک فوقانی یا روساری مشکلاتی از قبیل: ۱. خارج شدن دانه‌های لاستیک از لایه‌ی سطحی مخلوط و ۲. امکان اشتغال و آتش‌سوزی دانه‌های لاستیک به علت قرارگیری آن‌ها در مععرض هوای آزاد را در بر دارد؛ لذا، استفاده از یک لایه خاک روی آن با ضخامت بهینه (در مطالعه‌ی حاضر به ضخامت ۱/۵ سانتی‌متر معادل ۰/۳ م) بعد سنبه‌ی بارگذاری)، منطقی است. همچنین وجود لایه‌ی خاک روی مخلوط ضمن جلوگیری از پانچ شدن سطح تماس اعمال بار در مخلوط خاک، مقدار تنفس انتقال یافته روی لایه‌ی مخلوط ماسه و خرده‌لاستیک و مقدار نشست آن را کاهش می‌دهد.



شکل ۱۴. تغییرات نیرو بر حسب نفوذ برای نمونه‌ی خاک بدون افزودنی و مخلوط ماسه و خرده‌لاستیک با درصد وزنی ۷،۵، در حالت قرارگیری لایه‌ی ماسه به ضخامت ۱،۵، ۲، ۱/۵ و ۳ سانتی‌متر بر روی مخلوط.



شکل ۱۵. تغییرات نیرو بر حسب ضخامت لایه‌ی فوکانی به ازاء مقادیر مختلف نفوذ.

می‌دهند که افزایش سربار از ۲ به ۴ کیلوگرم، افزایش محسوسی در باربری نمونه‌ها ندارد.

در واقع تأثیر فشار سربار در مقاومت مخلوط، مبنی وابستگی رفتار مخلوط به فشار همه‌جانبه‌ی وارد بر آن است، به طوری که با افزایش فشار سربار و به تعییری افزایش فشار همه‌جانبه بر نمونه، حجم حفره‌های خالی بین دانه‌ها کاهش و در نتیجه سطح تماس، اندرکنش بین دانه‌ها، و مقاومت برشی مخلوط (متناصر با مقدار نیروی موردنیاز برای نفوذ سنبه‌ی بارگذاری به مقدار مشخص) افزایش می‌یابد.

#### ۴.۶. بررسی تأثیر ضخامت لایه‌ی خاک روی مخلوط خاک - خرده‌لاستیک

شکل ۱۴، تغییرات نیرو بر حسب نفوذ برای نمونه‌ی خاک بدون افزودنی و نمونه‌هایی از مخلوط با ۷/۵٪ وزنی خرده‌لاستیک نوع ۱ در شرایط وجود لایه‌ی از خاک به ضخامت ۱،۵، ۲، ۱/۵ و ۳ سانتی‌متر (۰، ۱، ۵، ۲، ۳) (۰) بر روی مخلوط را نشان می‌دهد که مطابق آن، نمونه‌های حاوی مخلوط خاک - خرده‌لاستیک، صرف نظر از مقدار ضخامت لایه‌ی خاک فوقانی در بیشتر موارد، مقاومت بیشتر نسبت به نمونه‌ی خاک بدون افزودنی دارند. همچنین اگرچه وجود لایه‌ی خاک فوقانی روی مخلوط، موجب کاهش مقاومت نمونه نسبت به حالت عدم وجود آن در مقدار نفوذ بالا شده است، اما شیب اولیه‌ی نمودار نیرو-نفوذ با افزایش ضخامت لایه‌ی خاک فوقانی افزایش می‌یابد، به طوری که برای ضخامت لایه‌ی خاک فوقانی در حدود ۱/۵ سانتی‌متر (۰/۳۳) (بعد سنبه‌ی بارگذاری) و تا نشسته‌های حدود ۵ میلی‌متر (۱۰٪ بعد سنبه‌ی بارگذاری) شیب نمودار در شکل ۱۴ و باربری نمونه (شکل ۱۵) بیشتر از بقیه‌ی حالت‌ها شده است. این امر را می‌توان به سختی بیشتر دانه‌های خاک و سیچ شدن نیروها زیر سنبه در بین ذرات خاک و همچنین ایجاد فشار همه‌جانبه‌ی مناسب روی لایه‌ی مخلوط نسبت داد.

همچنین شکل ۱۵، تغییرات نیرو بر حسب ضخامت لایه‌ی خاک فوقانی را به ازاء مقادیر مختلف نفوذ سنبه نشان می‌دهد. مطابق شکل‌های ۱۴ و ۱۵ مشاهده می‌شود که در مقدادر نفوذ کم سنبه (حدود ۵ میلی‌متر یا به عبارتی کمتر از ۱۰٪ بعد سنبه‌ی بارگذاری) به داخل نمونه، قرارگیری ۱/۵ سانتی‌متر لایه‌ی ماسه در بالای مخلوط خاک و خرده‌لاستیک موجب افزایش مقاومت نمونه نسبت به نمونه‌ی خاک بدون افزودنی و مخلوط خاک - خرده‌لاستیک بدون لایه‌ی خاک فوقانی می‌شود. اما با افزایش نفوذ سنبه به بیش از ۵ میلی‌متر، مقاومت مخلوط خاک - خرده‌لاستیک (بدون پوشش خاک ۰ = ۰) بیشتر از مقاومت نمونه با ۱/۵ سانتی‌متر پوشش لایه‌ی خاک در بالای مخلوط خاک و خرده‌لاستیک می‌شود. با افزایش ضخامت لایه‌ی ماسه به بیش از ۱/۵ سانتی‌متر و در نتیجه دور شدن لایه‌ی خاک روی آن، و خرده‌لاستیک از ناحیه‌ی تحت تأثیر تنفس ناشی از بار وارد بر سنبه، تأثیر آن در افزایش مقاومت نمونه کاهش می‌یابد.

در گذشته نیز مطالعاتی درخصوص اثر لایه‌ی خاک روی مخلوط خاک و خرده‌لاستیک انجام شده است. برخی پژوهشگران<sup>[۱]، [۲]، [۳]</sup> نشان دادند که برای یک خاکریز شامل درصد مناسب خرده‌لاستیک، قرارگیری یک لایه خاک روی آن، ضمن کاهش تراکم پذیری و نشست بستر به واسطه‌ی وجود دانه‌های خرده‌لاستیک، موجب افزایش مقاومت کششی، مدول پرشی بستر، و افزایش باربری آن می‌شود. از طرفی دیگر، قرارگیری لایه‌ی خاک روی بستر مخلوط ماسه و خرده‌لاستیک، سهولت اجرا و تراکم پذیری را فراهم می‌سازد. همچنین در پژوهشی در سال ۲۰۱۲<sup>[۴]</sup> با انجام آزمایش بارگذاری صفحه روی بستر حاوی مخلوط ماسه و خرده‌لاستیک نواری

## ۷. نتیجه‌گیری

با توجه به برنامه‌ی آزمایش‌ها درخصوص تأثیر خردلاستیک با ابعاد ۱ در رفتار خاک ماسه‌یی، این نتایج به دست آمده است:

- افزودن خردلاستیک به ماسه، باعث افزایش مقاومت نمونه و عدد CBR می‌شود. این افزایش مقاومت در ۷/۵٪ وزنی خردلاستیک به بیشترین مقدار خود می‌رسد.

- اگرچه در بعضی حالات از مخلوط، افزودن خردلاستیک به نمونه موجب کاهش مدول اولیه‌ی مخلوط می‌شود، ولی با افزایش نفوذ سنبه به داخل نمونه، به دلیل افزایش سطح تماس، اصطکاک و اندرکنش مناسب بین دانه‌ها، مقاومت نمونه افزایش می‌یابد. این امر میان ضرورت ایجاد نشت در نمونه، برای عملکرد مناسب خردلاستیک در مخلوط است.

- افزایش سربار موجب کاهش عملکرد مثبت تسليح خردلاستیک در افزایش مقاومت نمونه می‌شود. این امر به دلیل ایجاد فشار همه‌جانبه‌ی ناشی از سربار

## منابع (References)

1. Stutz, J., Donahue, S., Mintzer, E. and et al. "Recycled rubber products in landscaping application", Tell us Institute, pp. 1-19 (2003).
2. Bosscher, P.J., Edil, T.B. and Edil, N. "Construction and performance of shredded waste tire test embankment", Transport Research Board, Washington, D.C., pp. 44-52 (1993).
3. Prasad, D.S.V. and Raju, G.V.R. "Performance of waste tyre rubber on model flexible pavement", *Journal of Engineering and Applied Sciences*, **4**(6), pp. 44-52 (2009).
4. Collins, K.J., Jensen, A.C., Mallinson, J.J. and et al. "Environmental impact assessment of a scrap tyre artificial reef", *J. Mar. Sci. Technol.*, **59**, pp. S243-S249 (2002).
5. Edincliler, A., Cabalar, A.F., Cagatay, A. and et al. "Triaxial compression behavior of sand and tire wastes using neural networks", *Neural Computing and Applications* (2010).
6. Youwai, S. and Bergado, D.T. "Strength and deformation characteristics of shredded rubber tire-sand mixtures", *Canadian Geotechnical Journal*, **40**(2), pp. 254-264 (2003).
7. Hataf, N. and Rahimi, M.M. "Experimental investigation of bearing capacity of sand reinforced with randomly distributed tire shreds", *Construction and Building Materials*, **20**(10), pp. 910-916 (2005).
8. Moghaddas Tafreshi, S.N. and Norouzi, A.H. "Bearing capacity of a square model footing on sand reinforced with shredded tire- An experimental investiga-
- tion", *Construction and Building Materials*, **35**, pp. 547-556 (2012).
9. Hambirao, Gh.S. and Rakaraddi, P.G. "Soil stabilization using waste shredded rubber tyre chips", *IOSR Journal of Mechanical and Civil Engineering*, **11**, pp. 20-27 (2014).
10. Vinod, J.S., Sheikh, N., Mastello, D. and et al. "The direct shear strength of sand-tire shred mixtures", In Kulathilaka, K. Senanayake, J.S.M. Fowze, N. Priyankara, P.Rathnaweedra, U. Nawagamuwa N. De Silva (Eds.), *Proceedings of the International Conference on Geotechnical Engineering (ICGEColombo2015)*, pp. 193-196 (2015).
11. Bali Reddy, S., Pradeep Kumar, D. and et al. "Evaluation of the optimum mixing ratio of a sand-tire chips mixture for geoengineering applications", *Journal of Materials in Civil Engineering*, **28**(2), pp. (2015).
12. Rao, G.V. and Dutta, R.K. "Compressibility and strength behaviour of sand-tire chip mixtures", *Geotechnical and Geological Engineering*, **24**(3), pp. 711-724 (2006).
13. Lee, C.J. and Sheu, S.F. "The stiffness degradation and damping ratio evolution of taipei silty clay under cyclic straining", *J. of Soil Dynamics and Earthquake Eng.*, **22**(4), pp. 323-331 (2007).
14. Rao, G.V. and Dutta, R.K. "Compressibility and strength behaviour of sand-tire chip mixtures", *Geotechnical and Geological Engineering*, **3**(24), pp. 711-724 RK (2006).
15. Cabalar, A.F. "Direct shear tests on waste tires-sand mixtures", *Geotechnical and Geological Engineering*, **29**(4), pp. 411-418 (2011).

16. Nakhaei, A. and Marandi, S.M. "Reducing the forces caused by earthquake on retaining walls using granulated rubber-soil mixture", *I.J.E. Transactions Applications*, **24**(4), pp. 337-350.
17. Foose, G.J., Benson, C.H. and Bosscher, P.J. "Sand reinforced with shredded waste tires", *Journal of Geotechnical Engineering Division*, **122**(9), pp. 760-767 (1996).
18. Subramanian, R.M. and Jeyapriya, S.P. "Study of effect of wast tyres in flexible pavement system", *Indian Geotechnical Society Chennai Chapter*, pp. 19-22 (2009).
19. Prasad, D.S.V. and Raju, G.V.R. "Performance of waste tyre rubber on model flexible pavement", *Journal of Engineering & Applied Sciences*, **4**(6), pp. 44-52 (2009).
20. Kim, H.K. and Santamarina, J.C. "Sand-rubber mixtures (large rubber chips)", *Canadian Geotechnical Journal*, **45**(10), pp. 1457-1466 (2008).
21. Cabalar A. and Karabash Z. "California bearing ratio of a sub-base material modified with tire buffings and cement addition", *Journal of Testing and Evaluation (JTE)*, **43**(6), pp. 1279-1287 (2014).
22. Anbazhagan, P., Manohar, D. and Rohit, D. "Influence of size of granulated rubber and tyre chips on the shear strength characteristics of sand-rubber mix", *Geomechanics and Geoengineering*, **12**(4), pp.266-278 (2017).
23. Brara, A., Brara, A., Daouadji, A. and et al. "Dynamic properties of dense sand-rubber mixtures with small particles size ratio", *European Journal of Environmental and Civil Engineering*, pp. 1-15 (2016).
24. Brunet, S., De la Llera, J.C. and Kausel, E. "Non-linear modeling of seismic isolation systems made of recycled tire-rubber", *Soil Dynamics and Earthquake Engineering*, **85**, pp. 134-145 (2016).
25. Wang, Z., Zhang, N., Li, Q. and Chen, X. "Dynamic response of bridge abutment to sand-rubber mixtures backfill under seismic loading conditions", *Journal of Vibroengineering*, **19**(1), pp.434-446 (2017).
26. Yadav, J. and Tiwari, S. "A study on the potential utilization of crumb rubber in cement treated soft clay", *Journal of Building Engineering*, **9**(1), pp.177-191 (2017).
27. Zhang, T., Cai, G., Liu, S. and Duan, W. "Laboratory observation of engineering properties and deformation mechanisms of cemented rubber-sand mixtures", *Construction and Building Materials*, **120**, pp. 514-523 (2016).
28. Foose, G.J., Benson, C.H. and Bosscher, P.J. "Sand reinforced with shredded waste tires", *Journal of Geotechnical Engineering Division*, **122**(9), pp. 760-767 (1996).
29. Moghaddas Tafreshi, S.N., Khalaj, O. and Dawson, A.R. "Repeated loading of soil containing granulated rubber and multiple geocell layers", *Geotextiles and Geomembranes*, pp. (2014).
30. ASTM D 2487-11, "Standard practice for classification of soils for engineering purposes (unified soil classification system)", American Society for Testing and Materials.
31. ASTM D 854-92, "Standard test methods for specific gravity of soil solids by water pycnometer", American Society for Testing and Materials.
32. ASTM D 698-12e2, "Standard test methods for laboratory compaction characteristics of soil using standard effort (12 400 ft-lbf/ft<sup>3</sup> (600 kN·m/m<sup>3</sup>))", American Society for Testing and Materials.
33. ASTM D 4254-00, Standard test methods for minimum index density and unit weight of soils and calculation of relative density", American Society for Testing and Materials.
34. ASTM D 1883-16, "Standard test method for CBR (California bearing ratio) of laboratory-compacted soils", American Society for Testing and Materials.